

الفصل السادس

الجريانات الارتشاحية للسائل القابل للانضغاط في الوسط المسامي حسب قانون الارشاح الخطى

درسنا في الفصل الرابع الجريانات الارتشاحية للسائل غير القابل للانضغاط وتعكس عدم قابلية السائل للانضغاط بثبات كثافته ، حيث اعتبرنا أن الكثافة ثابتة على امتداد الطبقة ، ومثل هذه الحالة تحدث عند نظام الدفع المائي مع اعتبار أن كمية الغاز المدخل تبقى ثابتة في النفط ، ولكن في الواقع يلاحظ أنه كلما اقترب السائل من البئر ونتيجة لانخفاض الضغط ، فإن السائل يتمدد وهذا يؤدي إلى تغير في كثافته على امتداد الطبقة. وهنا سنجري الحسابات نفسها ولكن بعد إدخال عامل الكثافة في معادلة الحالة ، وبدلًا من استخدام السرعة الحجمية فإننا سنأخذ السرعة الوزنية ، أي أن :

$$v_M = \rho \cdot v, Q_M = \rho \cdot Q \quad (1-6)$$

حيث إن : v_M - السرعة الوزنية ، v - السرعة الحجمية ، Q_M - التدفق الوزني ، Q - التدفق الحجمي ، ρ - كثافة السائل .

سبق ودرسنا قانون تغير الكثافة الذي أعطي بالمعادلة (٢٦-٣) ، حيث يمكن كتابتها على الشكل التالي ، بعدأخذ لوغاريم الطرفين :

$$P = P_{a1} + \frac{1}{\beta} \ln \frac{\rho}{\rho_{a1}} \quad (2-6)$$

وبناء على ما سبق سنقوم بدراسة الجريان الأحادي المنتظم والجريان الدائري الشعاعي للسائل القابل للانضغاط كل على حدة .

١-٦ - جريان الأحادي المنتظم المستقر :

سندرس هذا النوع من الجريان بناء على نفس الشكل (٤-٨-b) فقد قلنا إن كثافة

السائل سوف تغير وسندرس تغيرها بالنسبة للمحور x وذلك باشتقاق المعادلة (٢-٦) :

$$\frac{dP}{dx} = \frac{1}{\beta} \frac{1}{\rho} \frac{dp}{dx} \quad (3-6)$$

وبتعويض قيمة v من المعادلة (٤-٣) في المعادلة (١-٦) نحصل على :

$$\rho \cdot v = \rho \frac{k}{\mu} \frac{dP}{dx} \quad (4-6)$$

وبتعويض المعادلة (٣-٦) في المعادلة (٤-٤) نحصل على :

$$\rho \cdot v = \frac{k}{\beta \cdot \mu} \frac{dP}{dx} \quad (5-6)$$

وبأخذ بعين الاعتبار المعادلة (١-٦) وإدخال السطح F نحصل على :

$$dp = \frac{\beta \cdot \mu \cdot Q_M}{k \cdot F} dx \quad (6-6)$$

ن كامل المعادلة عند الحدود $[x] = [p_s \rightarrow p]$ فنجد :

$$p = p_s + \frac{\beta \cdot \mu \cdot Q_M}{k \cdot F} x \quad (7-6)$$

وللحصول على الإنتاجية الوزنية Q_M ، ن كامل المعادلة (٦-٦) عند الحدود

$$[0 \rightarrow L_k] , [p_s \rightarrow p_k]$$

$$Q_M = \frac{k \cdot F}{\beta \cdot \mu} \frac{p_k - p_s}{L_k} \quad (8-6)$$

وبتعويض قيمة Q_M في المعادلة (٦-٦) نحصل على :

$$p = p_s + \frac{p_k - p_s}{L_k} x \quad (9-6)$$

إن المعادلات (٧-٦) ، (٩-٦) توضح تغير كثافة السائل من أية نقطة في الطبقة وحتى القناة . وللحصول على معادلة الضغط نقوم بتعويض قيمة الكثافة ρ ، التي حصلنا عليها بواسطة هذه المعادلات ، في المعادلة (٢-٦) . وانطلاقاً من المعادلة (٢٤-٣) تم الحصول على المعادلة (٢٦-٣) . وبكتابة المعادلة (٢٦-٣) بشكل سلسلة وأخذ الحدود الثلاث الأولى منها ، لأن الحدود الأخرى تعتبر صغيرة جداً ،

فقد تم الحصول على العلاقة التالية :

$$\rho = \rho_o \left[1 + \beta(P - P_o) + \frac{1}{2} \beta^2 (P - P_o)^2 \right] \quad (10-6)$$

حيث إن : P_o - كثافة السائل في الشروط السطحية ، P_g - الضغط الجوي .

واعتماداً على المعادلة (10-6) يمكن الحصول على ما يلي :

$$\rho_k - \rho_g = \rho_o \cdot \beta (P_k - P_g) (1 + \beta \bar{P}) \quad (11-6)$$

حيث إن : \bar{P} - القيمة الوسطية للضغط فوق الضغط الجوي بين كونتور التغذية

وضغط القناة وهو يساوي :

$$\bar{P} = \frac{P_k + P_g}{2} - P_o \quad (12-6)$$

ومن المعادلة (1-6) نجد أن :

$$Q_o = \frac{Q_M}{\rho_o} \quad (13-6)$$

وبتعويض المعادلتين (11-6) ، (13-6) في المعادلة (8-6) نحصل على:

$$Q_o = \frac{k \cdot F}{\mu} \frac{P_k - P_g}{L_k} (1 + \beta \bar{P}) \quad (14-6)$$

ومن أجل الحصول على معادلة تدرج الضغط تقوم باشتقاء المعادلة (9-6)

بالنسبة إلى الحور x ، وبتعويض المعادلة (11-6) فيها نحصل على :

$$\frac{d\rho}{dx} = \frac{\rho_k - \rho_g}{L_k} \equiv \frac{\rho_o \beta (P_k - P_g) (1 + \beta \bar{P})}{L_k} \quad (15-6)$$

وبتعويض هذه المعادلة في المعادلة (3-6) نجد أن :

$$\frac{d\rho}{dx} = \frac{\rho_o}{\rho} \frac{(P_k - P_g) (1 + \beta \bar{P})}{L_k} \quad (16-6)$$

من المعادلتين (4-6) ، (8-6) يمكن التوصل إلى :

$$Q = \frac{k \cdot F}{\beta \cdot \mu} \frac{\rho_k - \rho_g}{L_k} \frac{1}{\rho} \quad (17-6)$$

وبتقسيم قيمة الإنتاجية Q على سطح الارشاح F يمكن الحصول على المعادلة التالية:

$$v = \frac{k}{\beta \cdot \mu} \frac{\rho_k - \rho_g}{L_k} \frac{1}{\rho} \quad (18-6)$$

وبتحليل هذه المعادلات التي تم التوصل إليها من أجل هذا النوع من الجريان يمكننا استخلاص الاستنتاجات التالية :

١) مقارنة المعادلين (٤-٦) ، (٧-٤) تبين أن كمية السائل المصروفة عند الضغط الجوي P_0 للسائل القابل للانضغاط تختلف عن كمية السائل المصروفة للسائل غير القابل للانضغاط ، عند الشروط نفسها ، بالقيمة $(\bar{P} + \beta)$ ، ولكن قيمة (\bar{P}) صغيرة جداً بالمقارنة مع الواحد . فمثلاً عندما يكون $\frac{1}{a_t} = 5 \cdot 10^{-3}$ ، $\beta = 100 \text{ at}$:

$\bar{P} = 5 \cdot 10^{-3} \beta$ ، لذلك يمكننا تعين الكمية المصروفة للسائل القابل وغير القابل للانضغاط عند الشروط نفسها حسب المعادلة (٤-٦) والشكل (٦-٤) .

٢) مقارنة المعادلين (٦-٦) ، (٨-٤) نلاحظ تشابههما بفارق $(1 + \beta P)$ وكما قلنا إن هذه القيمة صغيرة لذلك فإن التدرج الضغط قيمة متساوية وثابتة ، وبالتالي يمكن القول إن منحنيات توزع الضغط في الطبقة يجب أن تكون متطابقة للسائل القابل وغير القابل للانضغاط كما في الشكل (٦-٤) .

٣) إن المعادلة (٦-١٨) ثبت أن سرعة الارتجاع لا تتعلق بالمحور x وبما أن تغير الكثافة صغير جداً لذلك يمكن اعتبارها ثابتة وبالتالي فإن سرعة الارتجاع ستكون ثابتة على امتداد الطبقة كما هو موضع في الشكل (٦-٤) .

وأخيراً يمكننا القول إنه يمكن استخدام معادلات توزع الضغط للسائل غير القابل للانضغاط عند إجراء الحسابات المخزونية الحقلية المتعلقة بارتجاع السائل القابل للانضغاط .

٦-٢- الجريان الدائري الشعاعي المستقر :

تعطى معادلة الحالة أثناء الجريان الدائري للسائل القابل للانضغاط حسب قانون الارتجاع الخططي بتعويض المعادلة (٤-٢٦) في المعادلة (٦-٦) ، والشكل رقم

(٤-١٢) يوضح المقطع الأفقي لهذا النوع من الجريان :

$$\rho \cdot v = \frac{k}{\mu} \rho \frac{dP}{dr} \quad (19-6)$$

وباستناد المعادلة (2-6) بالنسبة لنصف القطر r نجد :

$$\frac{dP}{dr} = \frac{1}{\beta} \cdot \frac{1}{\rho} \cdot \frac{dp}{dr} \quad (20-6)$$

نعرض قيمة تدرج الضغط بالمعادلة (19-6) فنحصل على :

$$\rho v = \frac{1}{\beta \cdot \mu} \frac{dp}{dr} \quad (21-6)$$

وبأخذ العلاقة (6-1) بعين الاعتبار وإدخال سطح الارتشاح $F = 2\pi r b$ نجد :

$$dp = \frac{\beta \cdot \mu \cdot Q_M}{2\pi k b} \frac{dr}{r} \quad (22-6)$$

نكمي هذه المعادلة عند الحدود $[R_c \rightarrow r]$ ، $[\rho_c \rightarrow \rho]$

$$\rho = \rho_c + \frac{\beta \cdot \mu \cdot Q_M}{2\pi k b} \ln \frac{r}{R_c} \quad (23-6)$$

نكمي المعادلة (22-6) عند الحدود $[R_c \rightarrow R_k]$ ، $[\rho_c \rightarrow \rho_k]$ فنحصل

على الإنتاجية الوزنية :

$$Q_M = \frac{2\pi k b}{\beta \cdot \mu} \frac{\rho_k - \rho_c}{\ln \frac{R_k}{R_c}} \quad (24-6)$$

نعرض قيمة Q_M من المعادلة (24-6) في المعادلة (6-1) فنحصل على

معادلة الكثافة وتغيرها مع تغير نصف القطر r :

$$\rho = \rho_c + \frac{\rho_k - \rho_c}{\ln \frac{R_k}{R_c}} \ln \frac{r}{R_c} \quad (25-6)$$

يمكن الحصول على الكمية الحجمية المصروفة من السائل باستخدام المعادلة (1-6) :

$$Q = \frac{2\pi k b}{\beta \cdot \mu} \cdot \frac{(\rho_k - \rho_c)}{\ln \frac{R_k}{R_c}} \cdot \frac{1}{\rho} \quad (26-6)$$

وبتقسيم هذه الكمية على سطح الارتشاح نحصل على سرعة الارتشاح في أية

نقطة من الطبقة :

$$v = \frac{k}{\beta \cdot \mu} \cdot \frac{(\rho_k - \rho_c)}{\ln \frac{R_k}{R_c}} \cdot \frac{1}{r} \quad (27-6)$$

أما الكمية الحجمية المصروفة من السائل عند الصفط الجوي يمكن الحصول عليها بتعويض قيمة كثافة النفط في الشروط السطحية ρ_s :

$$Q_s = \frac{2 \pi k b}{\beta \cdot \mu \rho_s} \cdot \frac{\rho_k - \rho_c}{\ln \frac{R_k}{R_c}} \quad (28-6)$$

وبالطريقة نفسها التي اتبعت في الفقرة السابقة يمكن الحصول على قيمة فرق الكثافة التي سوف تعطي بالعلاقة التالية :

$$\rho_k - \rho_c \approx \rho_s \beta (P_k - P_c) (1 + \beta \bar{P}) \quad (29-6)$$

وبتعويض هذه المعادلة في المعادلة (28-6) نجد :

$$Q_s = \frac{2 \pi k b}{\mu} \cdot \frac{P_k - P_c}{\ln \frac{R_k}{R_c}} (1 + \beta \bar{P}) \quad (30-6)$$

نعرض قيمة $\frac{dp}{dr}$ من المعادلة (22-6) في المعادلة (20-6) ثم نعرض قيمة Q_M فيها أيضاً فنحصل على :

$$\frac{dp}{dr} = \frac{1}{\beta \cdot \rho} \cdot \frac{(\rho_k - \rho_c)}{\ln \frac{R_k}{R_c}} \cdot \frac{1}{r} \quad (31-6)$$

مما سبق يمكن التوصل إلى الاستنتاجات التالية :

- ١) تختلف المعادلة (30-6) عن المعادلة (4-32) بالقيمة فقط $(1 + \beta \bar{P})$ ومتى أقنا قلنا إن هذه القيمة صغيرة جداً ، لذلك نستنتج إمكانية استخدام قانون ديوسي الموضح بالمعادلة (4-32) ، من أجل حساب كمية السائل المصروفة للسائل القابل وغير القابل للانضغاط والشكل (4-13) يمثل الدليل البياني في الحالتين .

- ٢) بمقارنة المعادلة (4-31) مع المعادلة (4-33) بعد تعويض المعادلة (29-6) فيها يمكن ملاحظة تطابقهما لأنه كما قلنا إن $1 \approx (1 + \beta \bar{P})$ ، لذلك فإن منحنيات

توزيع الضغط في الطبقة لدى الارتشاح الدائري الشعاعي للسائل القابل وغير القابل للانضغاط متطابقة كما في الشكل (١٤-٤) .

(٣) إن معادلة سرعة الارتشاح (٢٧-٦) بعد تعويض (٢٩-٦) فيها تتطابق مع العلاقة (٣٠-٤) ، وهي تمثل معادلة قطع زائد . لذلك يمكن استخدام المعادلة (٣٠-٤) من أجل الجريان الدائري الشعاعي للسائل القابل وغير القابل للانضغاط ، وهذا موضح في الشكل (١٤-٤) .

ما ذكر نستنتج أن كل ما ذكر في البندين الثاني والثالث من الفصل الرابع من استنتاجات حول شكل خطوط الإيزوبراف وعلاقة الإنتاجية للبئر بنصف قطره وبعده عن الكوتور . كذلك فإن قمع الخفاض الضغط في الشكل (١٥-٤) يعتبر صالحاً كذلك من أجل الجريان الارتشادي المستقر للسائل القابل للانضغاط عند نفس الشروط .

٦-٣-طرق التقريرية لدراسة الجريانات غير المستقرة للسائل القابل للانضغاط :
إن العمليات غير المستقرة الناتجة عن وضع البشر في الإنتاج أو إيقافه وتغيير سرعة استخراج السائل من البئر ، تظهر في الطبقات أثناء استثمار واستغلال المكامن النفطية والغازية . وتظهر صفة هذه العمليات بما يلى :

- ١) إعادة توزيع الضغط الطبيعي .
- ٢) تغير سرعة الارتشاح مع الزمن .
- ٣) تغير إنتاجية البشر مع الزمن .

تعلق خصائص هذه العمليات غير المستقرة بمرونة الطبقات والسوائل المشبعة بها وبالتالي يمكن اعتبار الطاقة الطبيعية في هذه العمليات هي طاقة التشوّه المرن للسوائل (ماء ، نفط) ولصخور الطبقات .

عندما يكون الضغط الطبيعي أعلى من ضغط الإشباع فإنه يمكن اعتبار وجود طور واحد في الطبقة وبالتالي فإن الضغط سيكون متساوياً في أية نقطة من الطبقة .

٣٨٩ \Rightarrow Viscous

إن حجم السائل المضغوط سيزداد بينما سينقص حجم الفراغات المسامية نتيجة تمدد الجزء الصخري للطبقة وذلك عند انخفاض الضغط الطبيعي . وهذا يعطي القدرة على إزاحة السائل من الطبقة إلى البئر . وعلى الرغم من أن عامل التشوه الحجمي المرن للسائل وصخور الطبقة قليل ، إلا أن حجم الطبقة والسوائل المشبعة بها كبير ، وبالتالي فإن حجم السوائل المستخرجة من الطبقة نتيجة ذلك سيكون كبيراً .

يستمر جريان السائل إلى قاع البئر في عدة حالات أخرى تحت تأثير ضغط الماء القادمة من مجال التغذية . ويسمى مثل هذا النظام - نظام الدفع المائي المرن الذي يختلف عن نظام الدفع المائي المغلق .

إن قيم الضغط P وكثافة السائل m ستكون متساوية في كافة نقاط الطبقة قبل اختراق البئر لها . ولكن وابتداءً من لحظة فتح الطبقة سيتقل هبوط الضغط من البئر إلى كونتور التغذية . وسيتمدد السائل في الطبقة نتيجة لأنخفاض الضغط مما يساعد على تدفق النفط من الطبقة وإلى البئر .

يقسم هبوط الضغط في الطبقة إلى مرحلتين :

١) المرحلة الأولى : ازدياد نصف قطر تأثير البئر R ، أو توسيع قمع انخفاض الضغط ، وتميز هذه المرحلة بثبات الضغط على الحدود الخارجية لقمع انخفاض الضغط عند القيمة الأولية المساوية للضغط الطبيعي .

٢) المرحلة الثانية : تبدأ من وصول نصف قطر تأثير البئر R إلى كونتور التغذية . وإذا كان لدينا نظام الدفع المائي فإنه سيكون لدينا حالتان :

أ) كمية السائل المغذي أقل من كمية السائل المستخرجة وهنا يحدث انخفاض مستمر في الضغط مما يؤدي إلى استنفاذ الطبقة .

ب) كمية السائل المغذي تساوي كمية السائل المستخرجة وهنا يبقى الضغط ثابتاً P وبالتالي ستصبح حركة السائل مستقرة ويمكن اعتبار السائل غير قابل للانضغاط ،

وبالتالي يمكن استخدام الحسابات السابقة .

يستغرق استثمار الحقوق النفطية فترة طويلة (سينين عديدة) لذلك فإن تغير الإنتاجية والضغط بالعلاقة مع الزمن في الطبقة سيحدث أيضاً بيته . وهذا ما يسمح لنا باستخدام طريقة التبديل المتتالي للحالة المستقرة من أجل إجراء الحسابات المخزونية ، بحيث نعتبر أن الإنتاجية وتوزع الضغط في الطبقة خلال فترة زمنية قصيرة نسبياً ثابتان وكأنه ارتساخ مستقر .

فلتعين إنتاجية البئر وتوزع الضغط في الطبقة على اعتبار أن الارتساخ غير مستقر للسائل القابل للانضغاط كالمحالة المستقرة المتتالية يمكننا استعمال المعادلات التي حصلنا عليها في البندين الأول والثاني من هذا الفصل .

يمكن الحصول على المسائل المختلفة المتعلقة بالارتساخ غير المستقر للسائل القابل للانضغاط ضمن الوسط المسامي القابل للانضغاط ، في الطبقة ذات الامتداد المحدود أو غير المحدود ، من خلال مكاملة المعادلات التفاضلية الخطية ، إلا أن حل مثل هذه المعادلات يعتبر من الأمور الصعبة ، لذلك فقد تم البحث عن طرق تقريرية لبحث الارتساخ غير المستقر ، وسوف نعرض إحدى هذه الطرق من أجل نوعين من الجزيئات غير المستقرة . وتسمى هذه الطريقة بطريقة التبديل المتتالي للحالات المستقرة ، التي تم تطويرها من قبل الباحث تشارني (TSHARNY) ، والتي تستخدم على نطاق واسع في الحسابات العملية .

يعتمد مبدأ هذه الطريقة على " أن الضغط في الطبقة يتغير مع الزمن أقل بكثير من تغيره مع المسافة " ، لذلك فإنه يمكن إهمال مشتق الضغط بالنسبة للزمن وبالتالي يتم الحصول على معادلة لا بلاس بالنسبة للضغط التي تعبّر عن الحالة المستقرة .

يمكن تجزيء حركة السائل في الطبقة إلى مجالين : الأول مضطرب (متأثر بعمل البئر) والثاني غير مضطرب (غير متأثر بعمل البئر) .

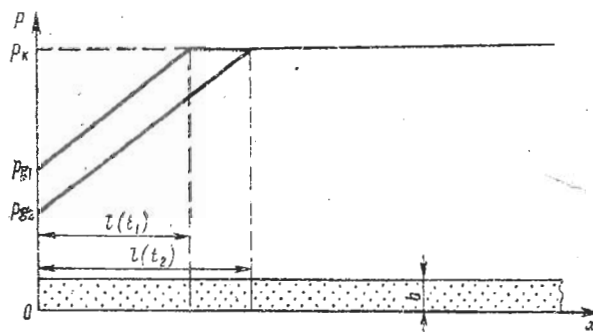
يبدأ الحال الأول من جدران البئر ويكون توزع الضغط وكأن الحركة تسم كجريان مستقر ، والحدود الخارجية لهذا الحال تصل في لحظة معينة إلى كونتور التغذية، أما الضغط في الحال الثاني فيكون ثابتاً ومساوياً للضغط статический الأولى . إن تقسيم الجريان الارشادي إلى مجال مضطرب وآخر غير مضطرب يؤدي إلى ضرورة بحث عملية إعادة توزع الضغط الطيفي في طورين ، حيث يتم جريان الطور الأول منذ اللحظة الأولى وحتى لحظة وصول الحال مضطرب إلى حدود الطبقة حيث يبدأ عندئذ الطور الثاني . ولكننا أثناء الحسابات النظرية سنفترض أن الطبقة لاحدود لها وبالتالي سنستبعد وجود الطور الثاني . وسنبحث فيما يلي الجريان الأحادي المتظم والدائي الشعاعي للسائل القابل للانضغاط بناء على طريقة التبديل المتالي للحالات المستقرة .

١-٣-٦ - الجريان الأحادي المتظم :

سندرس هذا النوع من الجريان عند وجود حالتين :

أ) حالة ثبات الإنتاجية Q :

لنفرض أن لدينا قناة مستقيمة دخلت في اللحظة $t = 0$ في الإنتاج بإنتاجية Q ثابتة من طبقة أفقية ذات السماكة ذات الثابتة b والعرض B . إن الضغط في الطبقة قبل إدخال هذه الآبار في الإنتاج كان متساوياً في كل نقاط الطبقة ومساوياً P_0 . وبعد إدخال الآبار في الإنتاج بزمن t كان قد انزاح الحال مضطرب بمقدار $\ell(t)$ كما في الشكل (١-٦) .



شكل (١-٦) منحنيات توزع الضغط للجريان الأحادي للجريان المتظم حسب طريقة التبديل المتالي

إن توزع الضغط في هذا المجال سيعتبر مستقراً (انظر الفقرة "٤-١" من الفصل الرابع) ، وبالتالي يمكن كتابة ما يلي مع اعتبار أن اتجاه الجريان يعاكس اتجاه الحور x كما في الشكل (٤-١-٦) :

$$P(x, t) = P_k - \frac{Q \cdot \mu}{k B b} [l(t) - x] : 0 \leq x \leq l(t) \quad (32-6)$$

والمطلوب إيجاد قانون انتقال حدود المجال المضطرب التي تبعد بمقدار (t) عن القناة إن كمية السائل المصروفة Q خلال فترة زمنية dt تساوي تغير احتياطي السائل المضغوط في المجال المضطرب من الطبقة خلال الزمن نفسه ، ويعبر عن ذلك بالمعادلة التالية :

$$Q = \beta^* \frac{d}{dt} [V(t) \cdot \Delta P] \quad (33-6)$$

حيث إن β^* - معامل السعة المرنة للطبقة . ويعبر عن تغير احتياطي السائل المضغوط في واحدة الحجم من الطبقة عند تغير الضغط الظبيقي بمقدار واحدة الضغط $V(t)$ - حجم المجال المضطرب من الطبقة ويعطى بالمعادلة التالية :

$$V(t) = B b l(t) \quad (34-6)$$

أما فرق الضغط فيحسب كمایلی :

$$\overline{\Delta P} = P_k - \tilde{P} = P_k - \frac{P_k + P_g}{2} = \frac{P_k - P_g}{2} \quad (35-6)$$

حيث إن \tilde{P} - الضغط الوسطي في الطبقة ككل .

ففي اللحظة الأولى $t=0$ $P(x, t) = P_g$ ، وبالتعويض في المعادلة (32-6)

نحصل على :

$$\frac{P_k - P_g + Q \mu l}{2} = Q = \frac{k}{\mu} \frac{P_k - P_g}{l} B \cdot b \quad (36-6)$$

نعرض المعادلين (34-6) ، (36-6) في المعادلة (33-6) فنجد :

$$Q = \beta^* \frac{d}{dt} \left(B b l \cdot \frac{Q \mu l}{2 k B b} \right) \quad (37-6)$$

لتفرض أن :

وبالتالي يمكن أن نحصل على : $d\ell^2 = 2\chi dt$

وبإجراء التكامل نحصل على العلاقة التي تحدد المجال المضطرب في أية لحظة :

$$\ell(t) = \sqrt{2\chi t} \quad (38-6)$$

نعرض هذه المعادلة في المعادلة (32-6) فنحصل على معادلة توزع الضغط في الطبقة :

$$P(x, t) = P_k - \frac{Q \cdot \mu}{kBb} (\sqrt{2\chi t} - x); \quad 0 \leq x \leq \sqrt{2\chi t} \quad (39-6)$$

وفي المجال غير المضطرب ، أي عندما $\sqrt{2\chi t} > x$ تصبح العلاقة على الشكل التالي :

$$P(x, t) = P_k \quad (40-6)$$

لقد قورنت قيمة فارق الضغط $(P_k - P_g)$ المحسوبة بهذه الطريقة مع طريقة حسابها بالطرق الدقيقة فكان الخطأ 25% .

ب) حالة ثبات ضغط القناة : P_g

لنفرض أن لدينا قناة مستقيمة دخلت في الإنتاج عند ضغط ثابت للقاع في اللحظة $t = 0$ ، والمطلوب تحديد توزع الضغط وقانون حركة حدود المجال المضطرب $\ell(t)$ وتحقيق إنتاجية القناة مع الزمن $(t) Q$. تعطى إنتاجية القناة في ظروف الحركة المستقرة بالمعادلة التالية :

$$Q(t) = \frac{k}{\mu} \frac{P_k - P_g}{\ell(t)} Bb = \frac{k}{\mu} Bb \frac{\partial P}{\partial x} \Big|_{x=0} \quad (41-6)$$

وباتباع الطريقة نفسها التي استخدمت في الفقرة السابقة مع الأخذ بعين الاعتبار ثبات الضغط ($\Delta P = \text{const}$) لذلك تكتب المعادلة (32-6) بالشكل التالي :

$$Q = \beta \cdot \Delta P \frac{dV(t)}{dt} \quad (42-6)$$

وبالتالي يمكن الحصول على قانون حركة حدود المجال المضطرب كما يلي :

$$\ell d\ell = 2\chi t$$

أو :

$$\ell(t) = 2\sqrt{\chi t} \quad (43-6)$$

وبتعويض المعادلات (٤١-٦) ، (٤٢-٦) في المعادلة (٣٢-٦) نحصل على

قانون توزع الضغط في المجال المضطرب :

$$P(x, t) = P_k - \left(P_k - P_g \right) \left(1 - \frac{x}{2\sqrt{\chi t}} \right) : 0 \leq x \leq 2\sqrt{\chi t} \quad (44-6)$$

وتصبح المعادلة على الشكل التالي عندما يكون $x > 2\sqrt{\chi t}$:

$$P(x, t) = P_k$$

أما إنتاجية القناة فتحسب بعد تعويض (٤٤-٦) في المعادلة (٤١-٦) :

$$Q(t) = \frac{k}{\mu} \frac{P_k - P_g}{2\sqrt{\chi t}} Bb \quad (45-6)$$

إن الخطأ بحساب الإنتاجية في المعادلة (٤٥-٦) بالمقارنة مع استخدام الطرق

الدقيقة لا يتجاوز ١١٪.

ولدى تحليل المعادلات من أجل الجريان الأحادي المنتظم يمكن صياغة

الاستنتاجات التالية :

١) إن الضغط في اللحظة الأولى $t = 0$ سيكون مساوياً لضغط القناة :

$$P(x, t) = P_g$$

٢) يصبح الضغط مساوياً للضغط الطبيعي الأولي $P(x, t) = P_0$ عند حدود المجال

$$\ell(t) \text{ أو } \ell > 2\sqrt{\chi t}$$

٣) إن علاقة الضغط بالمسافة (x) حسب المعادلة (٣٢-٦)، علاقة خطية،

وبالتالي فإن منحنى الخفاض الضغط سيكون خطأ مستقيماً يبدأ عند القيمة P_g وينتهي

عند ضغط القناة P_g حسب الشكل (١-٦).

٤) عند ثبات الإنتاجية يجب أن يتغير فرق الضغط ($P_k - P_g$) لذلك يجب أن يتناقص

ضغط قاع القناة فمن أجل تغير في الزمن t_1 إلى t_2 سينخفض ضغط القناة من P_g إلى

P_{g2} وذلك حسب الشكل (١-٦).

٥) عند ثبات ضغط قاع القناة فإن الإنتاجية ستتناقص مع الزمن حسب المعادلة

(٤٥-٦) ، حيث إن هذا الانخفاض في الإنتاجية غير خططي بالعلاقة مع الزمن .

٢-٣-٦ - الجريان الدائري الشعاعي :

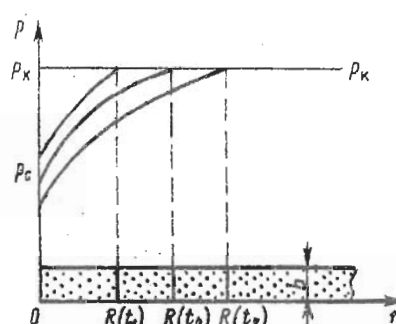
أ) حالة ثبات الإنتاجية :

لتدخل البئر ذا نصف القطر R في الإنتاج في اللحظة $t = 0$ من طبقة أفقية لحدود لها ذات سمك ثابتة b ، ولتكن إنتاجية هذا البئر ثابتة $t = \text{cons}$. إن الضغط في الطبقة ككل قبل دخول البئر في الإنتاج ثابتًا وقيمةه P_k . وحسب طريقة التبديل المتتالي للحالات المستقرة وبعد فترة t من دخول البئر في الإنتاج يتشكل مجال مضطرب ذو نصف قطر (t) $R(t)$ والذي يكون فيه توزع الضغط حسب القانون التالي:

$$P(r, t) = P_k - \frac{Q \cdot \mu}{2\pi k b} \ln \frac{R(t)}{r} \quad (46-6)$$

أما في الجزء الباقي من الطبقة فإن الضغط سيقى ثابتاً ومساوياً للضغط الطبيعي الأولي P_k . والمطلوب إيجاد قانون حركة حدود المجال المضطرب بالعلاقة مع الزمن $R(t)$ إن الشكل (٢-٦) يوضح توزع الضغط في هذا النوع من الجريان . ومن الواضح أنه يمكن تعين إنتاجية البئر بالعلاقة المشابهة لعلاقة ديوبوي :

$$Q = \frac{2\pi k b}{\mu} \frac{P_k - P_c(t)}{\ln \frac{R(t)}{R_c}} \quad (47-6)$$



شكل (٢-٦) منحني توزع الضغط في المجال المضطرب من الطبقة

يمكن حساب الإنتاجية بالمعادلة (٣٣-٦) ، ولكن حجم المجال المضطرب يحسب كما يلي :

$$V(t) = \pi(R^2(t) - R_c^2) b \quad (48-6)$$

أما فرق الضغط الوسطي فيعطي بالمعادلة (٣٥-٦) ولكن :

$$\tilde{P} = P_k - \frac{P_k - P_c}{2 \ln \frac{R(t)}{R_c}} \quad (49-6)$$

ومنه يمكن كتابة ما يلي :

$$\overline{\Delta P} = P_k - \tilde{P} = \frac{P_k - P_c}{2 \ln \frac{R(t)}{R_c}} = \frac{Q\mu}{4\pi kb} \quad (50-6)$$

نعرض المعادلين (٤٨-٦) ، (٥٠-٦) في المعادلة (٣٣-٦) فنحصل على معادلة حركة حدود المجال المضطرب كما يلي :

$$4\chi dt = d(R^2(t) - R_c^2) : \chi = \frac{k}{\mu \beta} \quad (51-6)$$

وبإجراء التكامل لهذه المعادلة نحصل على :

$$R(t) = \sqrt{R_c^2 + 4\chi t} \quad (52-6)$$

وبتعريض المعادلة (٥٢-٦) في المعادلة (٤٦-٦) نحصل على معادلة توزع الضغط في الطبقة في آية لحظة t :

$$P(r, t) = P_k - \frac{Q\mu}{2\pi kb} \ln \frac{\sqrt{R_c^2 + 4\chi t}}{r} \quad (53-6)$$

حيث إن :

وعندما يصبح $\sqrt{R_c^2 + 4\chi t} > r$ فإن الضغط يصبح مساوياً للضغط الطبقي الأولي:

$$P(r, t) = P_k \quad (54-6)$$

إن فرق الضغط ما بين قاع البئر وأية نقطة من الطبقة تعطي بالمعادلة :

$$\Delta P_c \equiv P_k - P_c(t) = \frac{Q\mu}{2\pi kb} \ln \frac{\sqrt{R_c^2 + 4\chi t}}{R_c} \quad (55-6)$$

وبتعويض المعادلة (٥٢-٦) في المعادلة (٤٧-٦) نحصل على معادلة حساب

الإنتاجية :

$$Q = \frac{2\pi kb}{\mu} \frac{P_k - P_c(t)}{\ln \frac{\sqrt{R_c^2 + 4\chi t}}{R_c}} \quad (٥٦-٦)$$

ويمقارنة المعادلة (٥٥-٦) بالمعادلة المماثلة لدى استخدام الطرق الدقيقة نجد أن نسبة الخطأ تتناسب مع الزمن وتكون 10,6% إذا كان $f_0 = 100$ وتصبح 7,5%

عندما $f_0 = 10^3$ ، $f_0 = 5,7\%$ عندما 10^4

$$f_0 = \frac{\chi t}{R_c^2} \quad \text{حيث إن :}$$

ب) حالة ثبات ضغط قاع البئر :

إن قانون حركة حدود المجال المغضوب بجريان السائل الدائري الشعاعي إلى البشر الداخل في الإنتاج عندما يكون ضغط القاع ثابتاً، سيكون مشابهاً لنفس القانون عندما تكون الإنتاجية ثابتة وذلك لأنه كما رأينا أن قيمة ΔP لا تتعلق بنصف القطر $R(t)$ وبالتالي فإن قيمة (t) R لن تتغير في هذه الحالة . فمن المعادلة (٥٢-٦) يمكن الحصول على :

$$\frac{R(t)}{R_c} = \sqrt{1 + \frac{4k}{\mu \beta^* R_c^2} t} \quad (٥٧-٦)$$

ولنفرض أن :

$$\tau = \frac{2}{\mu \beta^* R_c^2} t$$

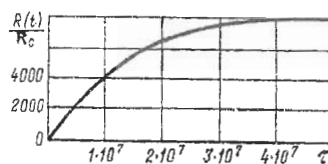
حيث إن τ - عامل دون واحدة قياس .

وبالتالي :

$$\frac{R(t)}{R_c} = \sqrt{1 + 2\tau} \quad (٥٨-٦)$$

ولقد عبر عن هذه المعادلة بالمعنى $(\tau) f = \frac{R(t)}{R_c}$ الموضح بالشكل (٣-٦) ،

والذي يمكن من خلاله حساب حركة حدود المجال المضطرب في هذه الحالة .



شكل (٣-٦) علاقة نصف قطر المجال المضطرب $\frac{R(t)}{R_0}$ بمعامل الزمن t
عند ثبات ضغط قاع البئر $P_b = \text{const}$

كذلك يمكننا استخدام المعادلة (٥٣-٦) من أجل توزيع الضغط . أما إنتاجية البئر فيمكن حسابها بمعادلة ديوبي (٥٦-٦) عندما يكون $P_b = \text{const}$ t والخطأ في حساب الإنتاجية لا يتجاوز 5% عنه أثناء استخدام الطرق الدقيقة في الحساب .
إن تحليل دراسة الجريان غير المستقر الدائري الشعاعي يمكننا من صياغة الاستنتاجات التالية :

١) في اللحظة $t = 0$ يكون $R = r$ وبالتالي يكون الضغط مساوياً لضغط القاع $P(r, t) = P_c$

٢) في اللحظة t وعندما يصبح $\sqrt{R^2 + 4\chi t} > r$ وبعد التعويض في المعادلة (٥٣-٦) يمكننا الحصول على قيمة الضغط الذي يصبح مساوياً للضغط العلقي الأولي، أي أن :
 $P(r, t) = P_k$

٣) إن علاقة الضغط بنصف القطر r حسب المعادلة (٥٣-٦) ضمن المجال المضطرب هي علاقة لوغارتمية وبالتالي فإن منحنى توزع الضغط سيكون منحنيناً يتراقص ميله تدريجياً حتى ينعدم عندما يصبح $r = \sqrt{R_c^2 + 4\chi t}$

٤) يمكن استخدام المعادلة (٥٦-٦) من أجل حساب إنتاجية البئر في أية لحظة ، عند ثبات الإنتاجية أو عند ثبات ضغط قاع البئر P_b وذلك لأن قيمة $(t) R(t)$ متساوية في الحالتين . ففي الحالة الأولى ولكي تبقى الإنتاجية ثابتة فإن فرق الضغط يجب أن تتغير

أي أن ضغط قاع البئر سيتغير . أما في الحالة الثانية وعندما يكون $P = \text{const}$ فإن إنتاجية البئر يجب أن تتغير مع الزمن ، وتغير الإنتاجية هذا له علاقة لوعارقية .
وأخيراً يجب الإشارة إلى أنه كما في الجريان الأحادي المنتظم كذلك في الجريان الدائري الشعاعي فإن تدرج الضغط يمدي تغيراً مفاجئاً عند الانتقال من المجال المضطرب إلى المجال غير المضطرب ، أي أن المنحني توزع الضغط انكساراً مفاجئاً في هذه المنطقة والذي يعتبر أحد أسباب اختلاف الحسابات بهذه الطريقة عنها في الطرق الدقيقة . ولكن تعتبر هذه الطريقة فعالة بشكل كاف ، حيث إنها تعطينا الحلول البسيطة ، التي تستخدم ليس فقط عند ارتفاع طور واحد ، بل أيضاً لدى حركة السوائل الحاوية على الغازات . كذلك تستخدم من أجل دراسة حركة الحد الفاصل ما بين السوائل والغازات .